



Mélange chaotique laminaire en écoulement tridimensionnel II. Écoulements ouverts

Philippe CARRIÈRE

En collaboration avec:

Florence RAYNAL
Equipe Microfluidique
Laboratoire de Mécanique des Fluides et d'Acoustique
UMR CNRS 5509 – Université de Lyon
Ecole Centrale de Lyon – Université Lyon I – INSA Lyon

Projet Extrapolis (Programme Énergie CNRS) LTN (Nantes), LGC (Toulouse), GreTH (Grenoble), CORIA (Rouen)









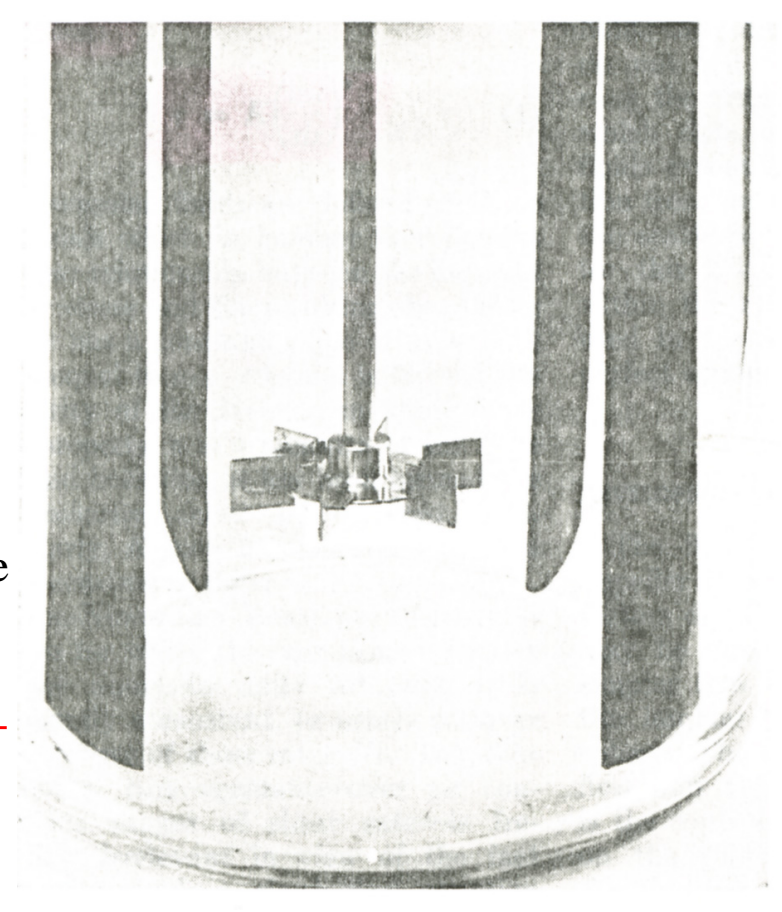
Pourquoi se poser le problème des écoulements ouverts?

Système classique dans l'industrie chimique : cuve agitée.

- Prototype à échelle de laboratoire
 (production ≈ quelques kilogrammes/heure).
- Extrapolation à échelle industrielle
 (production ≈ quelques tonnes/heure).

Problèmes d'extrapolation:

- · L'agitation est-elle aussi efficace dans les deux cas (Nombre de Reynolds différents)?
- · Performance de l'échange thermique pour des réactions exothermiques ?
 - Puissance calorifique à évacuer $\nearrow \sim$ volume.
 - Puissance calorifique évacuable par les parois $\nearrow \sim$ surface d'échange.



from Metzner & Otto, AICHE, 1965

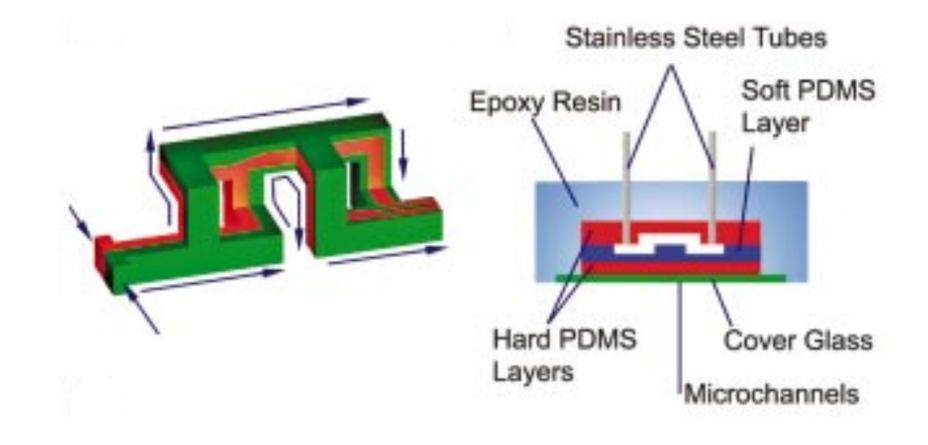
Mélangeurs chaotiques ouverts



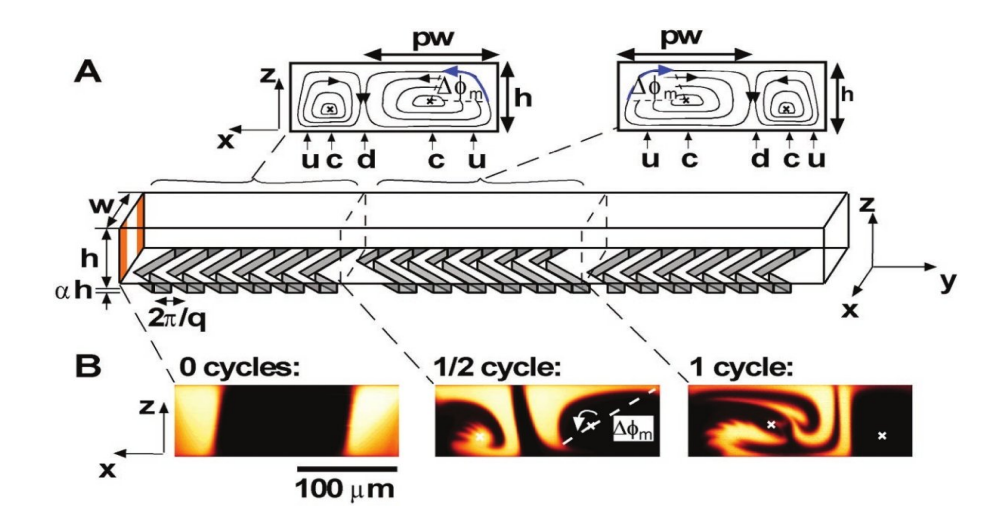
Static Mixer Kenics
Armeniades et al., US patent 3/286/992, 1966
Chemineer, Inc. (Robbins & Myers)



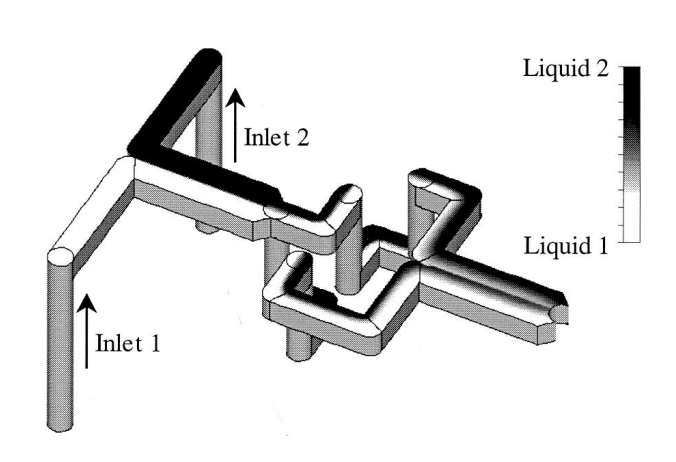
Twisted Pipes Heat Exchanger Jones et al., J. Fluid Mech., 209, 1989 Castelain et al., Int. J. Heat Mass Transfer, 43, 2000



Chen & Meiners Mixer Chen & Meiners, Appl. Phys. Let., 83, 2004



Staggered Herringbone Mixer Stroock et al., Science, 295, 2002



Multi-level laminating mixer Gray et al., Sens. Actuators, A 77, 1999

Principe (mélangeurs à séparateur de flux)



Transformation du "boulanger" appliquée au carré unité après deux itérations

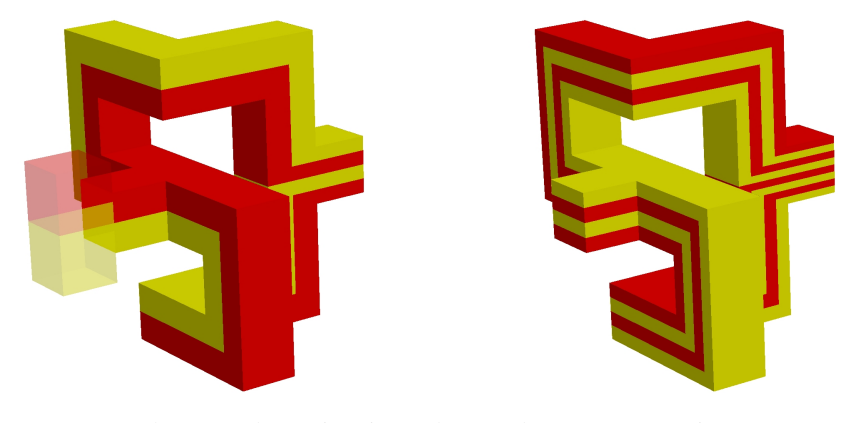


Schéma de principe du mélangeur statique

Ph. Carrière, Phys. Fluids, 19, 2007; voir aussi Gray et al., Sens. Actuators, A 77,1999

Entrée du système \longrightarrow échelle de ségrégation : $\ell_0 = h$ (diamètre caractéristique du conduit).

Après passage dans n éléments : $\ell_n = h/2^n$.

"Portée" du phénomène de diffusion : $O(\ell_n RS_c)$ (cf cas unidirectionnel).

Lorsque $\ell_n RS_c = O(h)$, la diffusion agit sur une distance axiale comparable à la distance transversale.

 $\longrightarrow n_m$ (nombre "d'éléments" nécessaire pour que la diffusion agisse rapidement) tel que $2^{n_m} = O(RS_c)$, soit

$$n_m = \frac{1}{\ln 2} O(\ln RS_c).$$

"Longueur de mélange":

 $L_m = K h n_m$, Kne dépendant que du système considéré

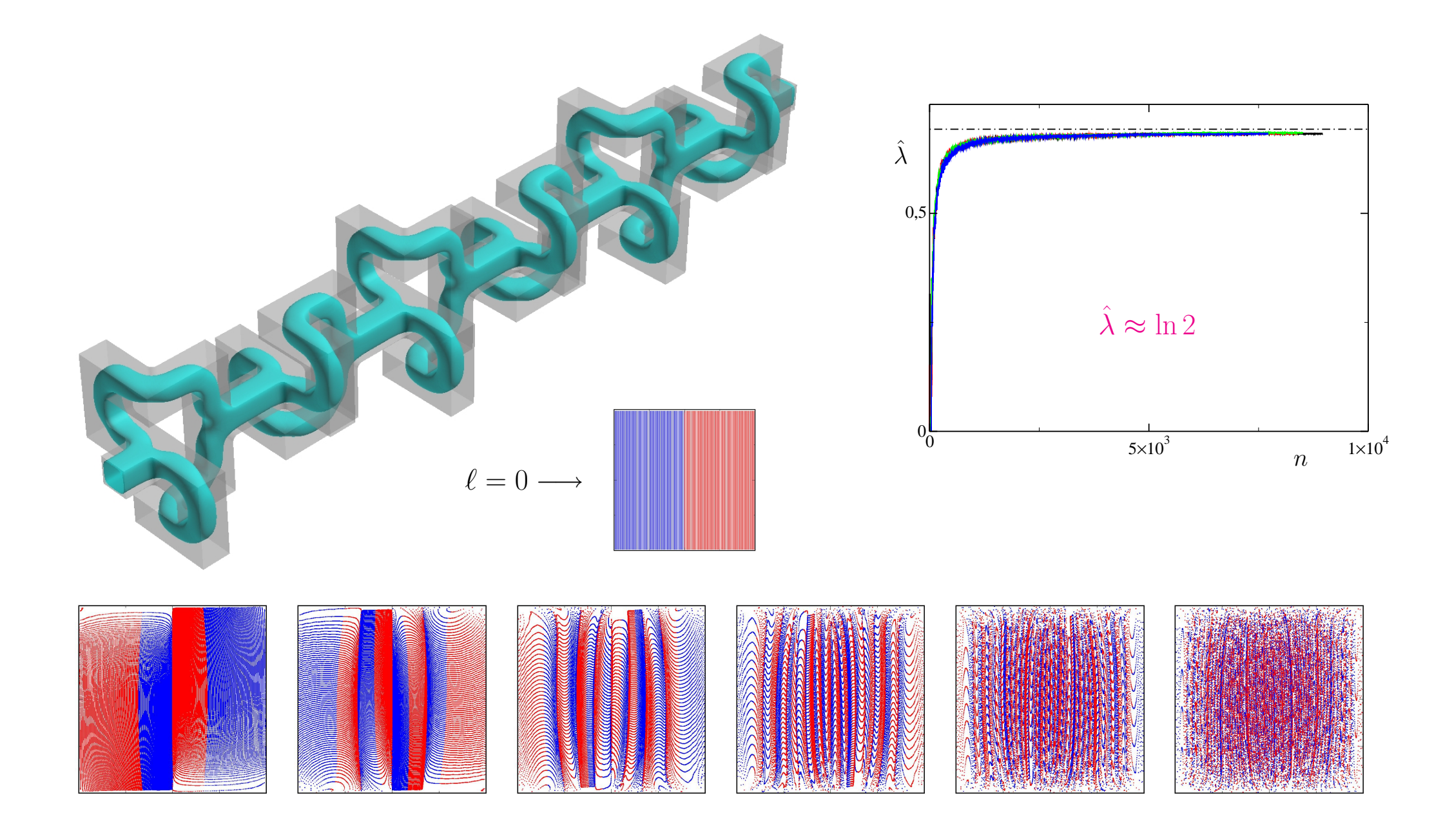
soit

$$\frac{L_m}{h} = \frac{1}{K \ln 2} O(\ln RS_c).$$

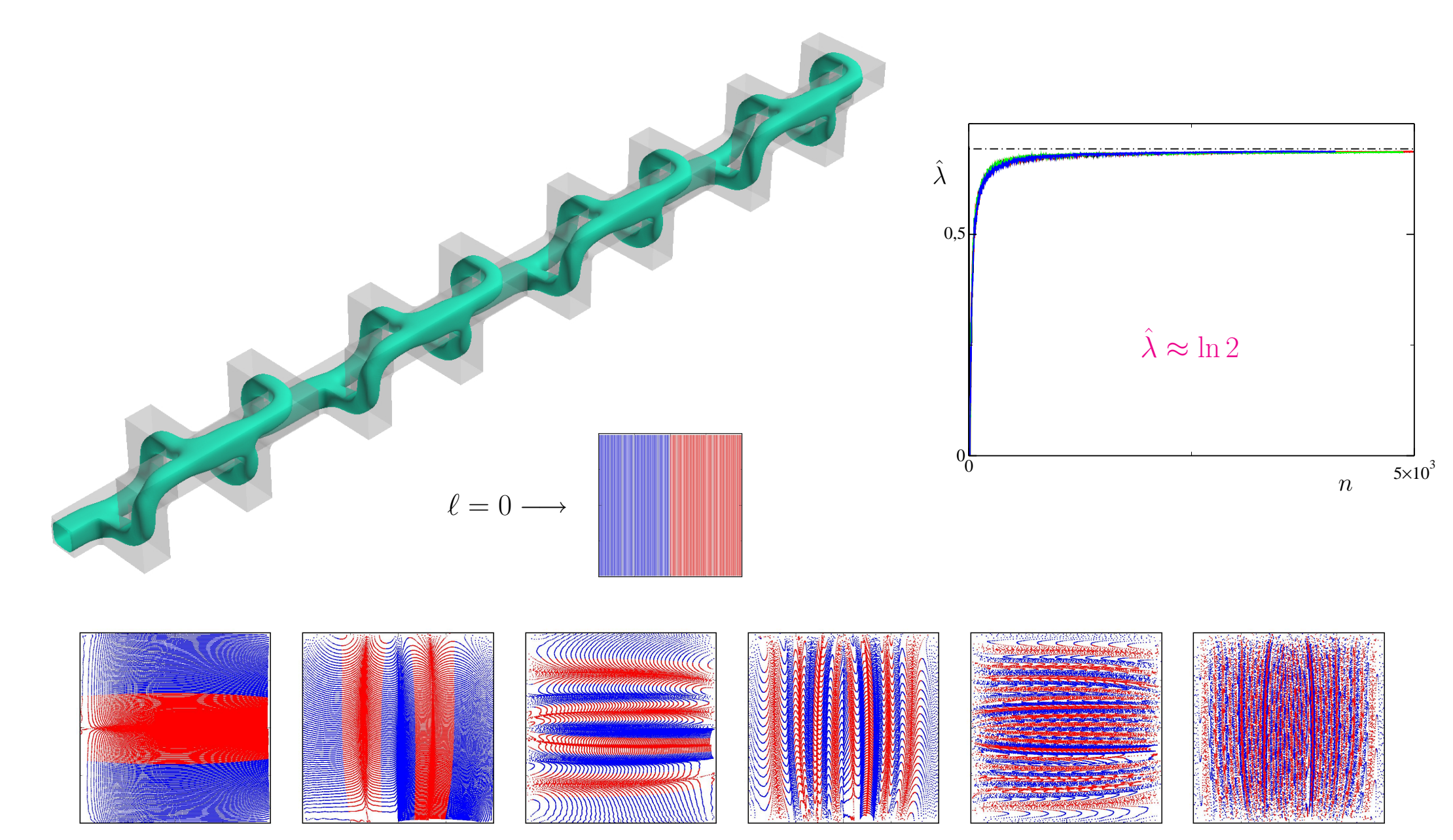
Plus généralement :

$$\frac{L_m}{h} = \frac{1}{\lambda} O(\ln RS_c) \qquad (\lambda \equiv \text{ exposant de Lyapunov})$$

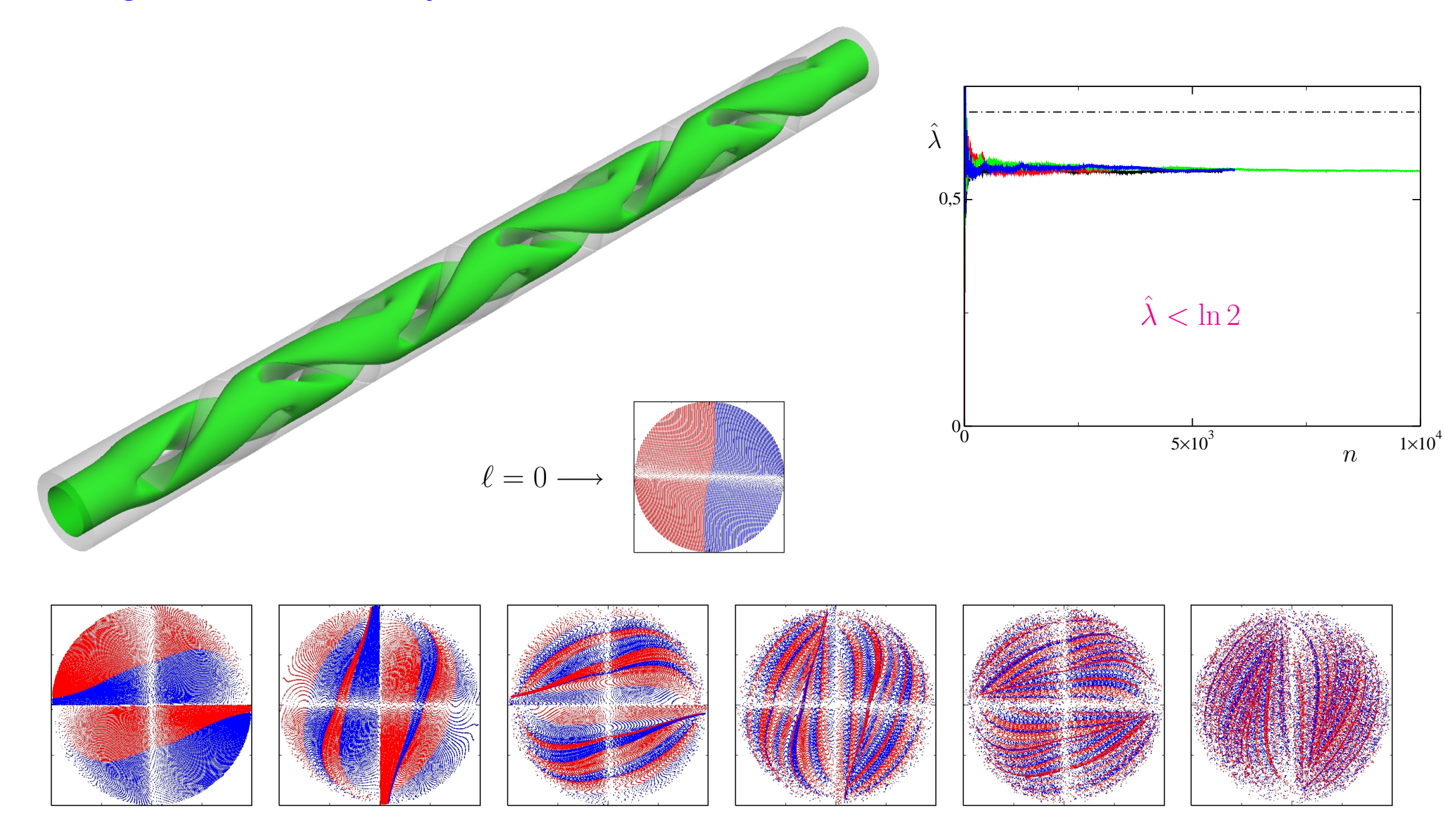
Mélangeur type Gray et al. (Stokes flow)



Mélangeur type Chen & Meiners (Stokes flow)



Mélangeur Kenics (Stokes flow)



Comparaisons possibles avec l'étude de Olivier Byrde (LMF-EPF Lausanne) (Byrde & Sawley, Chem. Eng. Sciences, 72; Computers Fluids, 28, 1999).

Performances des mélangeurs

En première analyse, les systèmes types *Gray et al.* ou *Chen & Meiners* sont plus performants que le Kenics.

Mais:

- Le coût énergétique (perte de charge) de chaque système est à prendre en compte.

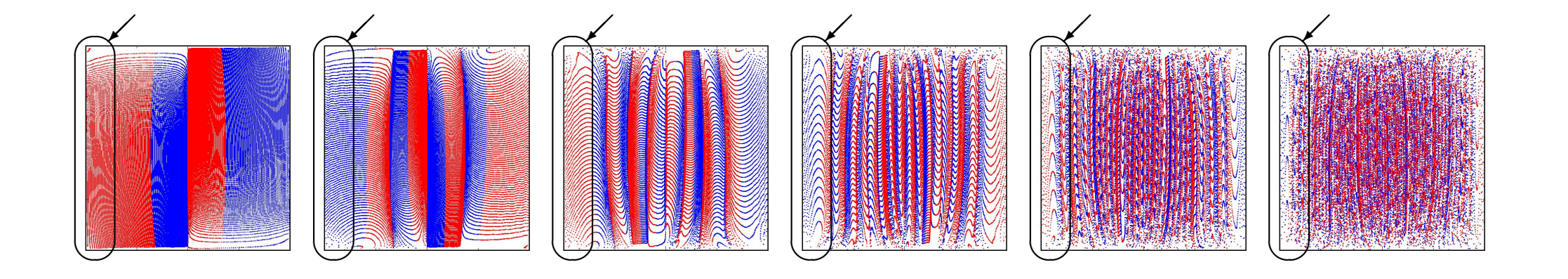
En terme de "résistivité hydraulique" (adimensionnée et par longueur "linéaire") :

- . Poiseuille cylindrique : $\zeta = 8\pi$.
- . Poiseuille section carrée : $\zeta \approx 28.5$.
- . Mélangeur type *Gray et al.* : $\zeta \approx 36.4$.
- . Mélangeur type Chen & Meiners : $\zeta \approx 29.2$.
- . Mélangeur Kenics : $\zeta \approx 84$.

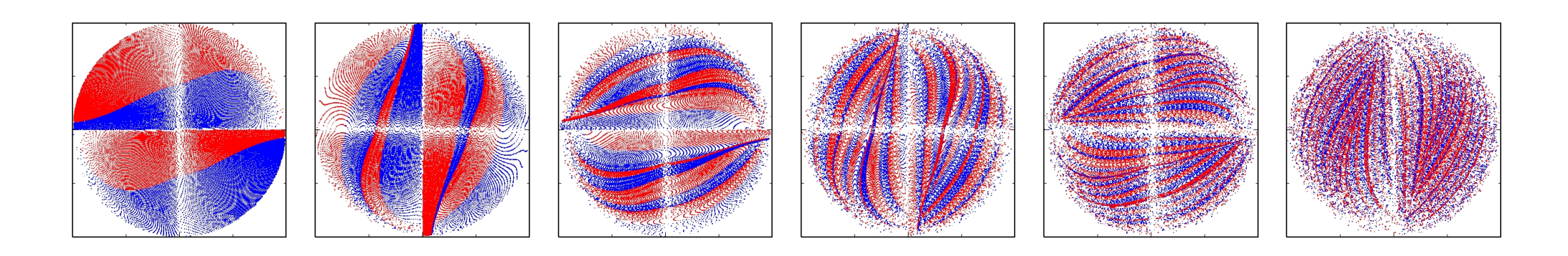
Mais il faut également tenir compte de la "longueur linéaire" nécessaire pour chaque mélangeur, typiquement :

- . Kenics : L/h = 2 (1.5 dans le cas étudié par Byrde et al.).
- . Gray et al. : L/h = 5 (susceptible de pouvoir être diminué)
- . Chen & Meiners : L/h = 4 (susceptible de pouvoir être diminué)

- Se pose le problème du mélange à proximité des parois.
 - . Visible qualitativement sur les "lâchers de particules marquées" :

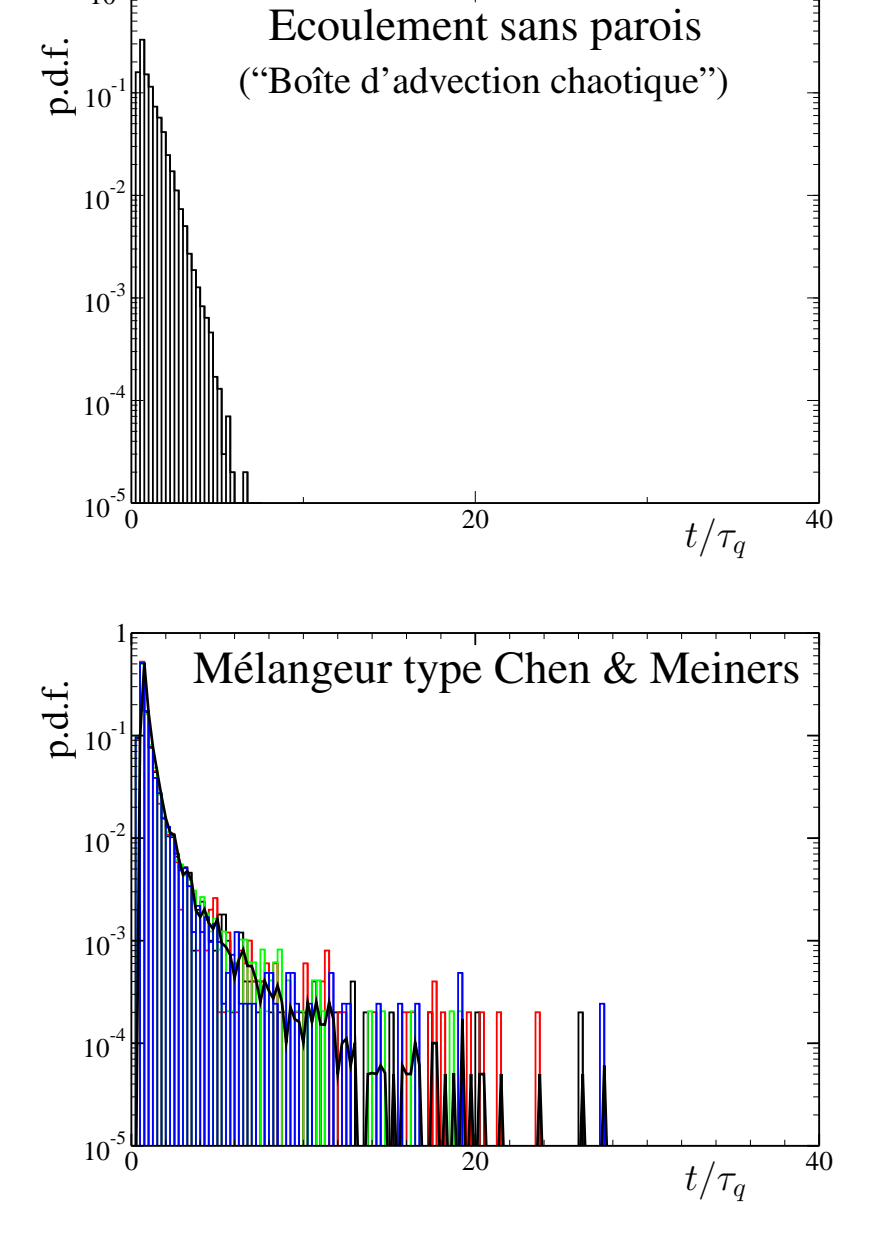


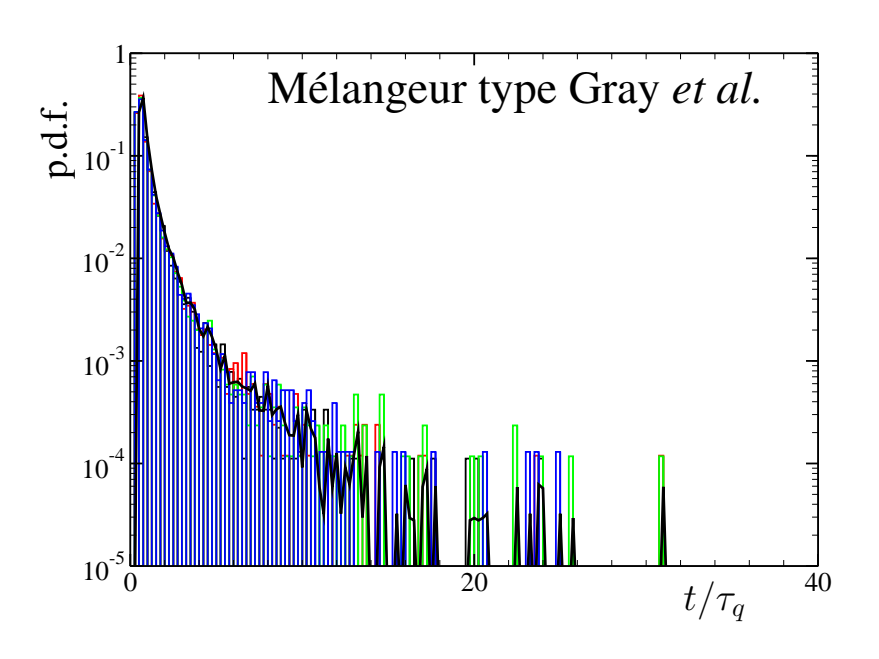
. Moins apparent dans le cas du Kenics :

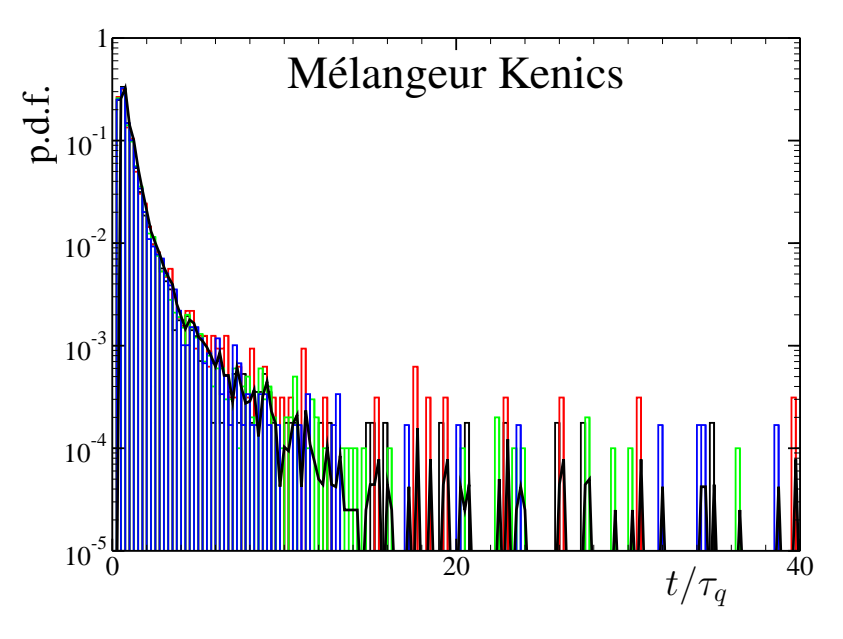


 10^{0}

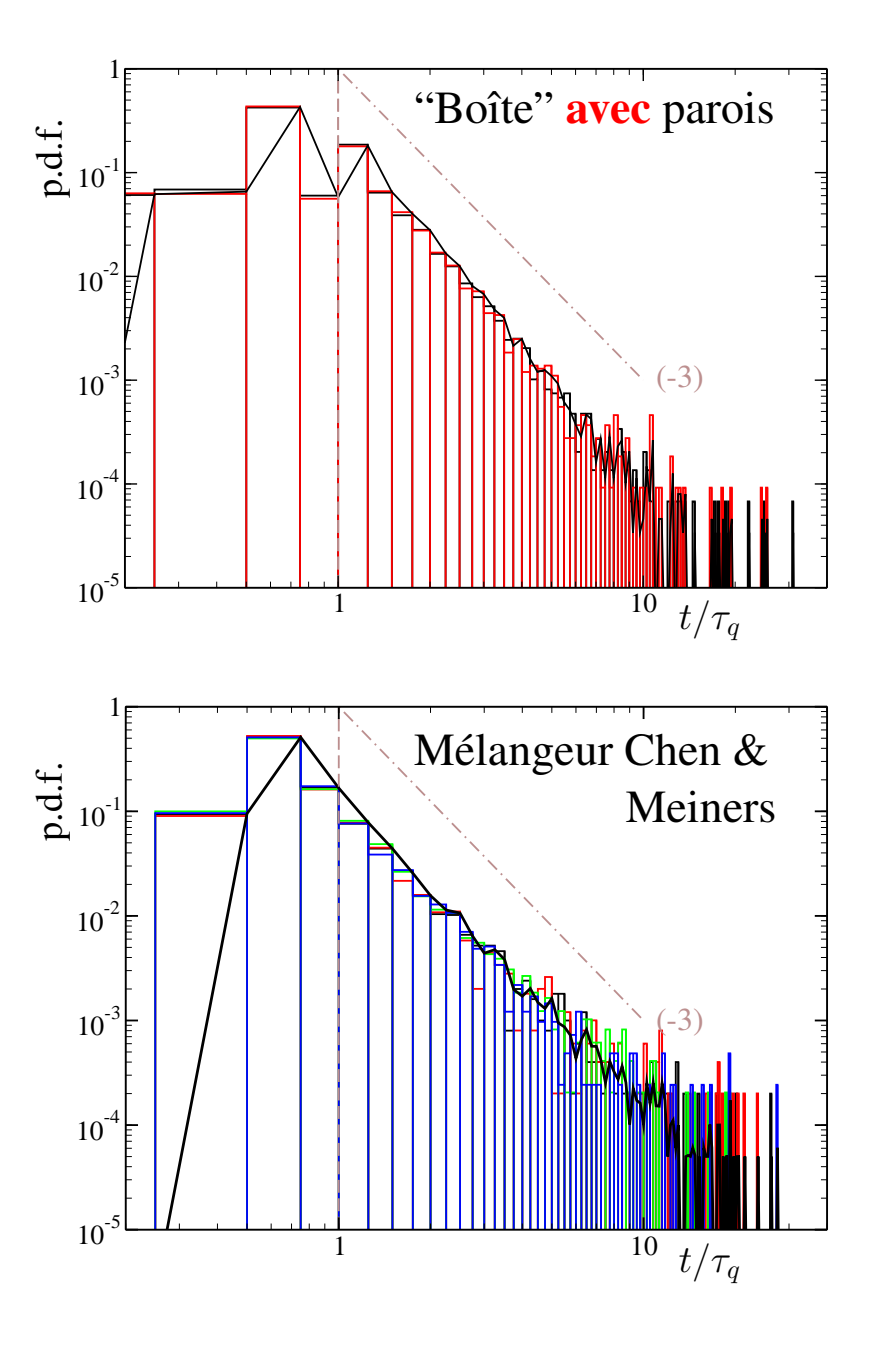
. Visible quantitativement sur les temps de résidence :

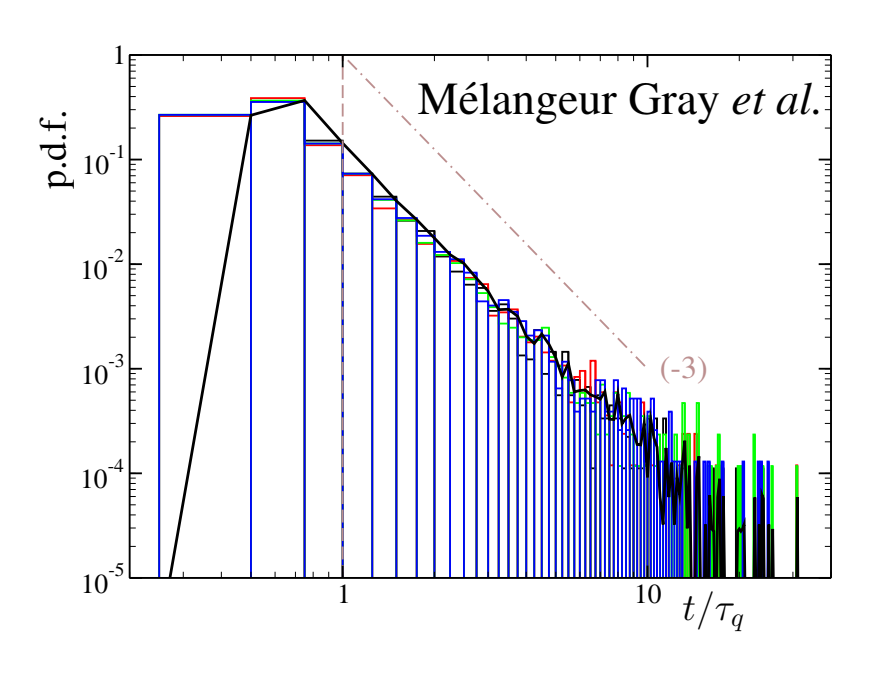


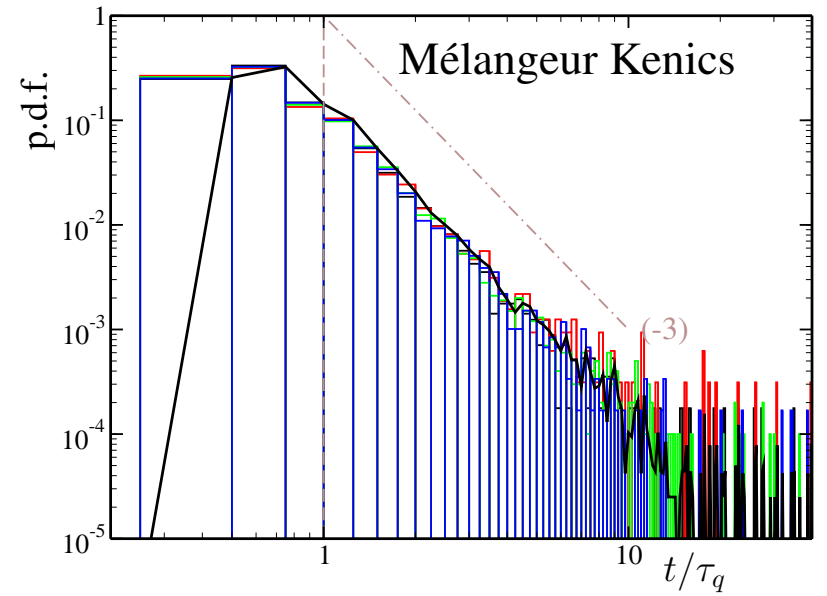




. et sous une autre forme :







Il reste beaucoup à faire!

- Comportement des mélangeurs avec l'augmentation du nombre de Reynolds.
- L'étude précédente ne concerne qu'un mélange non diffusif.

Que se passe-t-il en présence de diffusion?

Les caractérisations précédentes sont-elles suffisamment informatives?

- L'analogie thermique/mélange d'espèce a ses limites :
 - . Le nombre de Prandtl est généralement bien inférieur au nombre de Schmidt.
 - . L'échange thermique est très sensible au comportement près des parois.
 - . L'échange thermique implique également le fluide caloporteur.